# 路面摩擦特性と環境情報の関係について

日大生産工 〇渡辺 淳士 日大生産工(非常勤) 景山 一郎 日大生産工 栗谷川 幸代

# 1. まえがき

次世代道路交通の高度安全、例えば先進運転支 援システム (ADAS) や自律走行車 (AD) などの 車両安全管理のために様々な車両制御システム が開発されている. 車両走行状況変化の把握は, タイヤと路面間に発生する力に関係するため、 ADASやADの発展と普及のためには路面とタイ ヤ間の関係を把握することが非常に重要となる. これまでタイヤと路面間に発生する路面摩擦係 数を推定するために種々の検討を行い,連続的最 大摩擦 (以下ピークμ) 計測を実施し, その可能 性を示した 1)-3). さらに, これらを拡張し前方の 路面状況を認識することにより, 衝突被害軽減ブ レーキなどの安全支援システムにおいて、さらに 高度な車両制御が可能となる. そこで本研究では, 路面摩擦特性と関連のある前方路面を含む環境 状況認識技術について検討を行う. 特に, 先行研 究4-5)で有効等に絡む吸収量を計測する手法など に加えて、3次元的にデータの路面の距離データ が計測可能な深度カメラを導入し,画像処理によ る路面テクスチャ等の認識可能性について検討 する.

## 2. 路面摩擦計測装置

# 2.1. 接地式路面摩擦計測

路面摩擦計測装置は、図1に示すようにこれまでに構築したトレーラを使用した.タイヤは雪氷路用スタッドレスタイヤ (BLIZZAK VRX3 135/80 R12-68Q)を採用した.3つの計測輪の左右にはそれぞれ2軸および3軸方向の荷重を計測するロードセルを用いて、制動力並びに垂直抗力を計測し各計測輪の摩擦係数を求めた.また、車両進行速度や横すべり角算出のために6軸IMUと光学式車速計を用い、前後方向速度・横方向速度、GPSによる位置、3軸周りの角速度並びに角度の計測をした.

#### 2.2. 非接触式路面摩擦計測

路面の粗さは路面の摩擦係数と相関が高いとされており<sup>6</sup>,その他に路面の摩擦係数に影響を与える要因として,熱容量が考えられる<sup>7)</sup>.本研究では,これらの路面摩擦特性を効率よく捉える

ための検討を行った. 測定に使用したデバイスの 仕様を表1に示す. 路面における反射率は, 入射 光に対して路面の凹凸によって生じる拡散反射 量と路面の材質や表面状態によるレーザー光の 吸収量に依存するため道路表面の材質毎に特有 の値を持つ. 非接触式で計測車近傍から遠方まで の広い範囲で計測可能な2次元LiDARを用いて, 計測位置までの距離, 入射光と反射光の割合から 求まる反射強度を計測値として用いた. LiDAR 取 付け位置は,牽引車ルーフ上,地上高約 1850 mm で路面に対して迎角 約 6deg とし,車両前方 約 16.5m 付近を計測できるように設置した. また, 路面表面の物理的凹凸解析行うため, 画像式深度 計を用い、計測輪が通過する路面を撮影した.深 度計で物理的な凹凸を確認することで、マクロな 凹凸変動と路面摩擦の関係を把握することがで



Fig.1 実験車両 (トレーラ)

表 1 路面計測装置の諸元

Device name	Specifications	
Depth Camera	Measurement	$0.2m \sim 2m$
(Depth)	range	$\pm$ 1mm
	Resolution	848x480
	& FPS	30FPS
Depth Camera	Resolution	1280x720
(RGB)	& FPS	30FPS
LiDAR	Distance	$0.5 \sim 25 \mathrm{m}$
	Measurement	
	range	
	RSSI	$0 \sim 65535$
	Measurement	(16bit)
	range	
Road	Measurement	-20°C∼150°C
Temperature	range	
sensor		

Study on continuous friction characteristic between tire and road - Relationship between environmental data and road friction characteristics -

Atsushi WATANABE, Yukiyo KURIYAGAW and Ichiro KAGEYAMA

きる. 路面の熱容量は,各路面状態における路面表面温度の違いを検出することで把握する. これらの原理に沿って,表1のセンサ・デバイスを牽引車およびトレーラに設置し,計測を行った. なお,各センサ・デバイスのサンプリングレートは路面温度系が100Hz, LiDARが47Hz,深度カメラが30Hzである. さらに,走行した路面の状況を確認するために,牽引車両および後続車のフロントガラスに設置したビデオカメラにより,前方路面画像を撮影した.

# 3. 雪氷路における路面摩擦特性計測実験 3.1. 実験に使用した路面





(a) 人口氷盤路

(b) 乾燥アスファルト路



(c) 圧雪路 Fig.2 使用した試験路外観

本研究の目的である雪氷路における路面摩擦特性と関連のある環境情報の特定のために、 北海道網走市のデンソー網走テストセンターを 使用し、各種整備された冬季路面の特性計測を行った。計測を行った試験路は、①人口氷盤路、② ロードヒーティングが施された乾燥アスファル ト路、③圧雪路である。また、これらの結果との 関係を求めるために部分的に積雪状態であった 一般路でも計測を行った。それぞれの試験路を図 2 に示す。

3.2. 乾燥アスファルト路における計測結果 過去計測した路面と比較的近い乾燥アスファルト路面の計測を行い他の路面の基準とした. この路面はロードヒーティング設備を持つアスファルト路であり、計測時乾燥状態を維持している. 図3は、乾燥アスファルト路における計測結果を連続ピーク $\mu$ 計測結果と、計測した環境測定結果を走行位置に対して示したものである. なお、各計測輪が同一場所で得たデータを用いて解析する必要性から、センサの取り付け位置及び角度等を加味して、第3輪の計測位置へ距離方向にオフセットしている. 本計測路で

は、路面が一定の状況に管理されていることか ら, 計測されたピークμの値が安定しているこ とが確認できる. なお、計測時の区間平均速度 は11.2m/s である. ピークμについては, 平均 値 1.086 であり,過去取得した乾燥アスファルト 舗装と同等の値を示した. また, 路面表面温度 が約10℃程度でロードヒーティング装置により 安定していた. LiDAR の反射強度 Received Signal Strength Indicator (以下RSSI)は、測 定範囲のタイヤ幅位置付近の代表値5点を基 に, 平均値を走行位置毎に求めて代表値とした (約 200mm 幅相当). 多少の変動が確認されたが 概ね 100~200 の範囲に収まっている. これは, 出力した赤外線を路面等で反射または吸収され た後に受光部に戻ってきた反射量を最大値 65535 となるように示した指標である. 先を見 渡せるように角度を浅く設定した影響もあり受 光量としては非常に小さな値となった。また、 深度値[m]は比較的低周波成分の車両のピッチン グや路面のうねりの影響により数 cm 単位で値が 変動する. そこで, 直近の計測前5フレームと 計測後5フレームの計10フレーム毎の移動平均 値を求め, 元波形から差し引くことで低周波成 分による影響を取り除き,路面凹凸[m]として取 り扱った. この区間の路面凹凸の実効値は 0.91[mm]であり平滑な乾燥アスファルト路面を 表現していることを確認した.

以上の結果を以降検討する雪氷路面との基準データとする.

#### 3.3. 圧雪路における計測結果

圧雪路の計測結果を図4に示す. 計測時の区間 平均速度は 11.2m/s である. ピークμの平均値 は 0.518 であり、路面表面温度は、走行位置 0~ 75mの間は-9℃付近で変動しており、それ以降で ほぼ-8℃で一定値になっており,区間平均値は-8.1℃であった. LiDAR の反射強度 RSSI は,温度 が急激に低下した部分で同様に RSSI は低下した. 多少の変動が確認されたが、 概ね 200~300 の範 囲に収まっており、乾燥アスファルト路と比較し て倍程度の値を示した. 乾燥路と比較して圧雪路 が高い値を示した理由として, 乾燥路と比較して 圧雪路は踏み固められた雪が均一ではなく,これ により, 乱反射を起こし相対的に高い値を示した と考えられる. 圧雪路面は図 2(c)の前方画像か らも分かるように、路面の凹凸が他と比較して大 きなことが確認された. この結果は, 前述の RSSI の結果を裏付ける結果となった. この区間の路面 凹凸の実効値は 0.97[mm]となった. 実効値とし

ては、乾燥路面と同等となったが 0-50m 区間で何度か確認されるように圧雪の不規則な路面凹凸と見られる最大 7mm 程度の変動が確認された.

## 3.4. 氷盤路における計測結果

氷盤路面の計測結果を図 5 に示す. 計測時の区間平均速度は 11.1 m/s であり,圧雪路から氷盤路に侵入する位置を 0 m とし,それ以降が氷盤路となり,ピーク $\mu$ の平均値は 0.204 であり,路面表面温度は約 $-10^{\circ}$ C程度である. LiDAR の反射強度 RSSI は,概ね  $0 \sim 100$  の範囲に収まっており,多くが 0 となった. 原因としては,氷盤の平滑度が高いことに加え LiDAR の設置角が浅く照射したレーザー光が戻ってこなかったためと推察される. この区間の路面凹凸の実効値は 1.25 [mm]となった. 実効値が乾燥アスファルト路と同等またはそれ以上の値になった原因として,画像で確認された氷盤表面の上に舞っていた氷の粒を誤検出してしまった可能性がある.

# 3.5. 一般路における計測結果

雪氷路含む一般路における路面摩擦係数と関 連性のある環境情報データを把握するために, 乾燥アスファルト路,圧雪路,氷盤路の特性計 測結果を用いて, それらの特性について確認す る. 本研究では、走行した一般路の内、主に圧 雪された路面の環境データ情報の計測例を示 す. 図 6 に計測した 900m 区間のピーク μ 及び路 面温度,路面反射強度,路面凹凸,路面反射率 について示す. 計測対象の路面は, 一部舗装面 が露出する圧雪路であり、試験路の圧雪路より も路面凹凸が顕著に見受けられた. 路面温度 は、アスファルト舗装が露出している箇所では-7℃前後であり、圧雪部分では-14℃程度であっ た. また, 一般路において積雪状態や圧雪状態 並びに路面の露出など路面状況が大きく変動す ることが確認できた. 次に、環境情報を用いた 路面推定の前段階として、カテゴリー分類につ いて検討を行う.一般路における路面摩擦係数 と路面吸収率及び路面温度の関係を図7に示 す.この図では、図3-5で得られた試験路の結 果を合わせて示している. 計測した路面摩擦係 数と前方画像映像と照らし合わせて該当する路 面を判断し、3つの路面にカテゴライズした結 果を○で囲み示した. 図7から,路面温度が低 い場合は RSSI と路面温度のセンサフュージョン が路面分離には有効であると考えられる. 特 に、氷盤路面の検出の可能性を示した. 一般路 における路面摩擦係数と RSSI 及び路面凹凸の関 係を図8に示す. 図8から路面温度が高い場合

はRSSIと路面凹凸のセンサフュージョンが 有効であり、ドライ路面とその他の路面の識別が 可能となる.

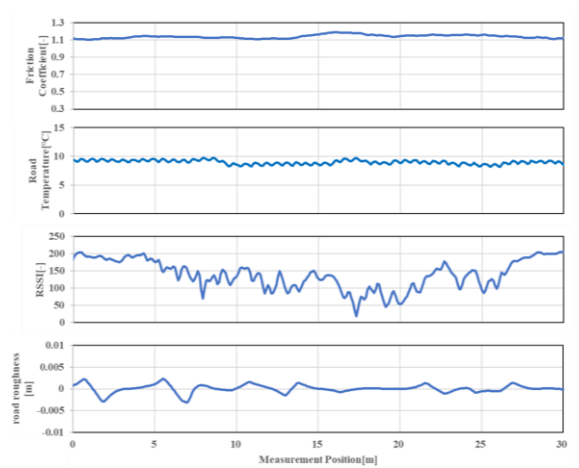


Fig.3 乾燥アスファルト路での路面摩擦係数と 環境情報との関係

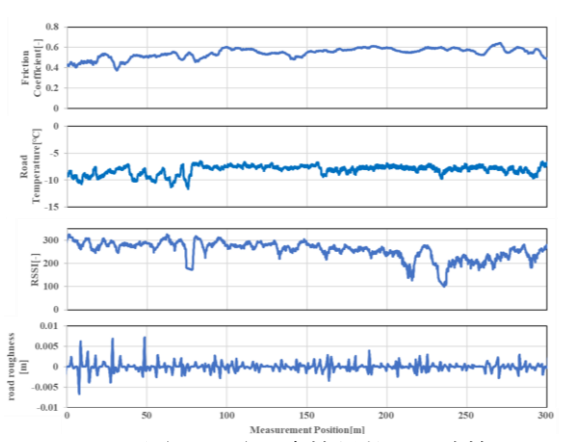


Fig.4 圧雪路での路面摩擦係数と環境情報との 関係

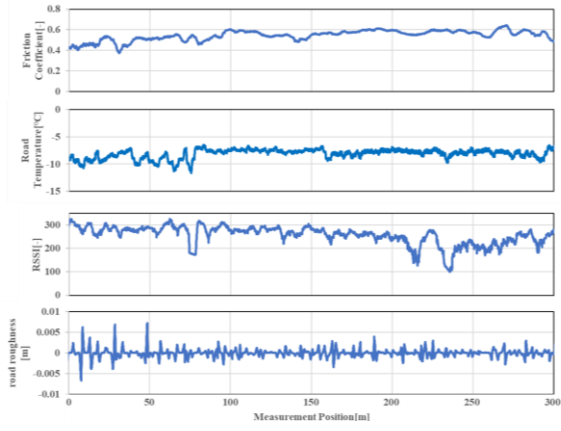


Fig.5 人口氷盤路での路面摩擦係数と環境情報 との関係

## 4. 結論

本研究では、非接触式路面摩擦推定システムの ための計測手法検討のために、実験から路面摩擦 と関連のある環境情報の抽出を行った。得られた 結論を以下にまとめる。

- (1) 管理された試験路を用いて人工氷盤路, 圧雪路,乾燥アスファルト路を用いて計 測を行い,路面摩擦と関連のある環境情 報について走行位置毎の特性計測結果 を示した.
- (2) 試験路内で取得したこれら環境情報の変動を把握し、これを基に積雪のある一般路計測結果と比較してそれらの対応を確認した.
- (3) 温度領域毎に推定ロジックを切り替えることで乾燥舗装路面・圧雪路・氷盤路のカテゴライズの可能性が示唆された.

今後の研究として,路面温度の変化が著しい夏季の計測における推定指標を含めて確認する必要がある.これらの検討後,環境情報と路面摩擦情報を有効に関連づける路面摩擦推定システムの構築とその評価を行う.

#### 参考文献

- 1) 渡辺ほか:路面摩擦係数推定アルゴリズムに 関する研究,日本機械学会第12回交通・物流部 門大会講演論文集,(2003)
- 2) 景山ほか: 実路面の摩擦特性計測に関する研究- 計測システムの基本設計について,自動車技術会論文集, Vol. 51, No. 5, p. 924-930 (2020)
- 3) A. Watanabe et.al.: Study on the Influence of Environmental Conditions on Road Friction Characteristics, Lubricants 2023, 11(277), (2023)
- 4) 景山ほか: 冬季雪国における路面摩擦特性計 測について, 自動車技術会春季学術講演会講演論 文集, (2024)
- 5) 中島利朗ほか: 近赤外光の吸光特性と偏光特性を用いた路面状態検出システムの開発, 計測自動 車制 御学会論文集 Vol. 46, No. 12, pp. 746-753, (2010)
- 6) 堀田鴨夫,路面のすべり摩擦係数について, 開発土木研究所月報, No. 481, pp. 65-68 (1993)
- 7) 福原輝幸 ほか,: 凍結路面の発生メカニズム, 日本雪工学会誌, No. 21, Vol. 2, pp. 110-115 (2005)

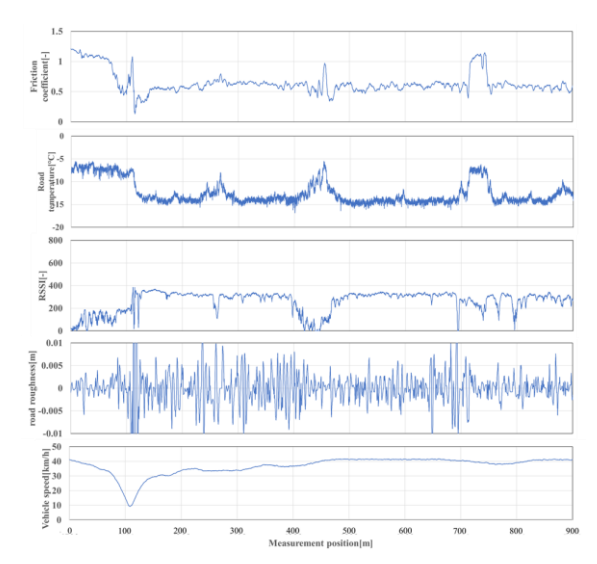


Fig.6 一般路における路面摩擦特性

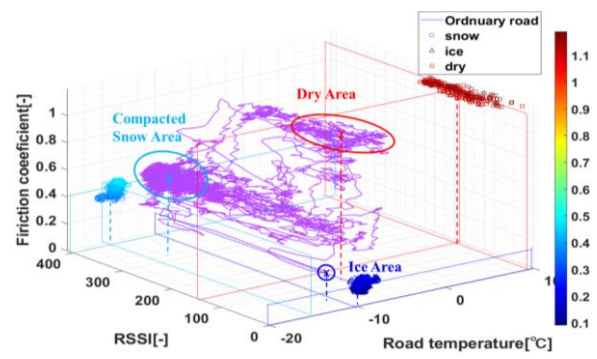


Fig.7 路面温度と RSSI 及び路面摩擦係数のセンサフュージョン

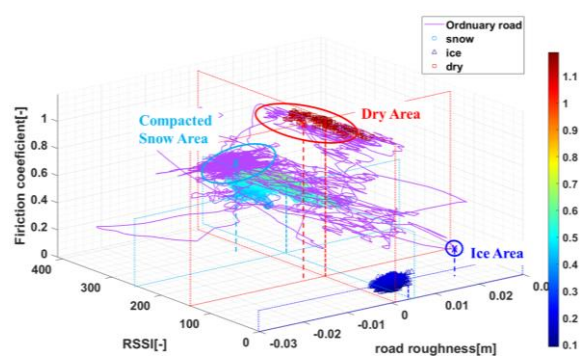


Fig.8 路面凹凸と RSSI 及び路面摩擦係数のセンサフュージョン